

# Cinemática de Manipuladores

Erick Nathan Martins Alves

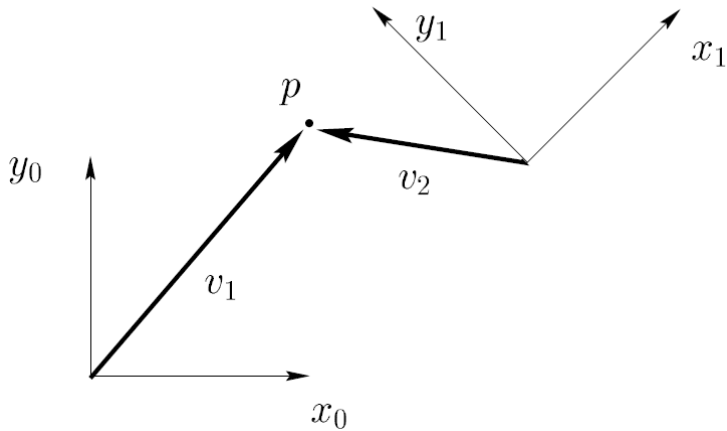
CEFET-MG | Campus V | Divinópolis-MG

maio, 2023

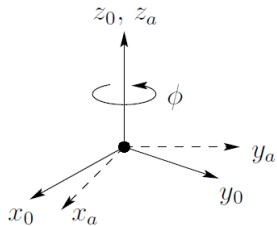
# Organização do Documento

- 1 Conceitos Importantes
- 2 Modelagem Cinemática Direta
- 3 Modelagem Cinemática Inversa
- 4 Jacobiano de Velocidades
- 5 Singularidades

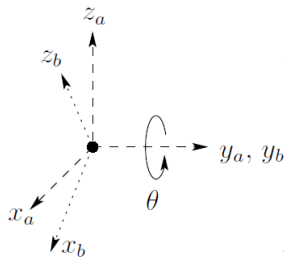
## Posição de um Ponto



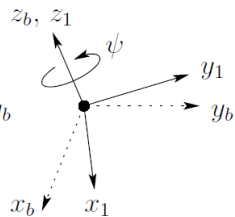
# Orientação de um *Frame*



(1)



(2)



(3)

## Matriz de Rotação

$$R_1^0 = \begin{bmatrix} x_1 \cdot x_0 & y_1 \cdot x_0 & z_1 \cdot x_0 \\ x_1 \cdot y_0 & y_1 \cdot y_0 & z_1 \cdot y_0 \\ x_1 \cdot z_0 & y_1 \cdot z_0 & z_1 \cdot z_0 \end{bmatrix}$$

# Ângulos de Euler

$$\begin{aligned}
 R_{ZYZ} &= R_{z,\phi} R_{y,\theta} R_{z,\psi} \\
 &= \begin{bmatrix} c\phi & -s\phi & 0 \\ s\phi & c\phi & 0 \\ 0 & 0 & 1 \end{bmatrix} \begin{bmatrix} c\theta & 0 & s\theta \\ 0 & 1 & 0 \\ -s\theta & 0 & c\theta \end{bmatrix} \begin{bmatrix} c\psi & -s\psi & 0 \\ s\psi & c\psi & 0 \\ 0 & 0 & 1 \end{bmatrix} \\
 &= \begin{bmatrix} c\phi c\theta c\psi - s\phi s\psi & -c\phi c\theta s\psi - s\phi c\psi & c\phi s\theta \\ s\phi c\theta c\psi + c\phi s\psi & -s\phi c\theta s\psi + c\phi c\psi & s\phi s\theta \\ -s\theta c\psi & s\theta s\psi & c\theta \end{bmatrix}
 \end{aligned}$$

## Roll, Pitch, Yaw

$$\begin{aligned}
 R_{XYZ} &= R_{z,\phi} R_{y,\theta} R_{x,\psi} \\
 &= \begin{bmatrix} c\phi & -s\phi & 0 \\ s\phi & c\phi & 0 \\ 0 & 0 & 1 \end{bmatrix} \begin{bmatrix} c\theta & 0 & s\theta \\ 0 & 1 & 0 \\ -s\theta & 0 & c\theta \end{bmatrix} \begin{bmatrix} 1 & 0 & 0 \\ 0 & c\psi & -s\psi \\ 0 & s\psi & c\psi \end{bmatrix} \\
 &= \begin{bmatrix} c\phi c\theta & -s\phi c\psi + c\phi s\theta s\psi & s\phi s\psi + c\phi s\theta c\psi \\ s\phi c\theta & c\phi c\psi + s\phi s\theta s\psi & -c\phi s\psi + s\phi s\theta c\psi \\ -s\theta & c\theta s\psi & c\theta c\psi \end{bmatrix}
 \end{aligned}$$

## Matriz de Rotação

$$R_1^0 = \begin{bmatrix} x_1 \cdot x_0 & y_1 \cdot x_0 & z_1 \cdot x_0 \\ x_1 \cdot y_0 & y_1 \cdot y_0 & z_1 \cdot y_0 \\ x_1 \cdot z_0 & y_1 \cdot z_0 & z_1 \cdot z_0 \end{bmatrix}$$



# Transformação Homogênea: Pose

$$H = \left[ \begin{array}{c|c} R_{3 \times 3} & d_{3 \times 1} \\ \hline f_{1 \times 3} & s_{1 \times 1} \end{array} \right] = \left[ \begin{array}{c|c} \textit{Rotation} & \textit{Translation} \\ \hline \textit{perspective} & \textit{scale factor} \end{array} \right]$$

## Parâmetros de Denavit Hartenberg

- $\theta_i$ : Rotação, em  $z_{i-1}$ , de  $x_{i-1}$  até  $x_i$
- $d_i$ : Translação, em  $z_{i-1}$ , de  $x_{i-1}$  até  $x_i$
- $a_i$ : Translação, em  $x_i$ , de  $z_{i-1}$  até  $z_i$
- $\alpha_i$ : Rotação, em  $x_i$ , de  $z_{i-1}$  até  $z_i$

## Atribuição de *Frames*

- 1 Identificar os eixos  $z_i$ , de acordo com os sentidos de rotação da respectiva junta
- 2 Posicionar  $o_i$  na interseção de  $z_{i-1}$  com  $z_i$ ; ou na interseção da perpendicular comum de  $z_{i-1}$  e  $z_i$ , com  $z_i$ . Se  $z_{i-1}$  e  $z_i$  forem paralelos, escolher de forma que fique mais simples.
- 3 Estabelecer  $x_i$  ao longo da perpendicular comum de  $z_{i-1}$  e  $z_i$  a partir de  $o_i$ ; ou na direção normal ao plano de  $z_{i-1}$  e  $z_i$ , se eles se interceptarem.
- 4 Estabelecer  $y_i$  para que o sistema fique destrógiro.
- 5 Estabelecer o *frame*  $n$  final da ferramenta. Se tiver garra, usar a convenção de garra. Se não tiver ferramenta, repetir o *frame*  $n - 1$ .
- 6 Estabelecer o *frame* 0 (zero) da base de forma que fique mais simples. Isso se esse *frame* já não tiver sido proposto.

# Convenções de Denavit Hartenberg

## Exigências da convenção

- DH1:  $x_i$  deve ser perpendicular a  $z_{i-1}$
- DH2:  $x_i$  deve interceptar  $z_{i-1}$
- Se não houver ferramenta, mas a repetição do *frame*  $n - 1$  não cumprir DH1 e DH2, repetir o eixo  $z_{n-1}$  e escolher  $x_n$  de forma a cumprir e poder aplicar D-H.
- Se houver alguma perda de *link* após o *frame* 0, ou a inclusão da ferramenta descumprir os requisitos DH1 e DH2, obtenha a transformação homogênea de um *frame* para o outro. [Spong et al., 2006].

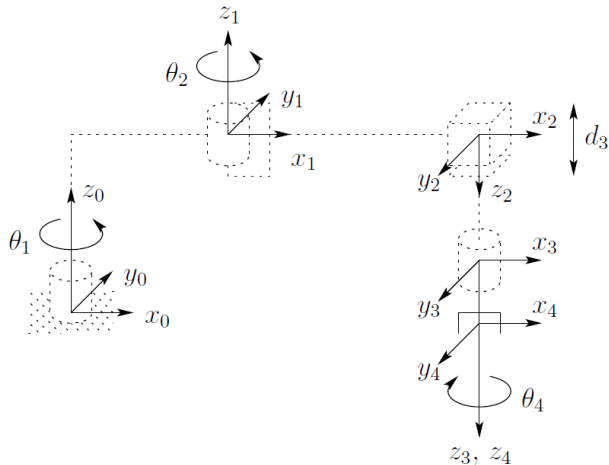
Matrizes  $A_i$ 

$$\begin{aligned}
A_i &= Rot_{z,\theta_i} Trans_{z,d_i} Trans_{x,a_i} Rot_{x,\alpha_i} \\
&= \begin{bmatrix} c\theta_i & -s\theta_i & 0 & 0 \\ s\theta_i & c\theta_i & 0 & 0 \\ 0 & 0 & 1 & 0 \\ 0 & 0 & 0 & 1 \end{bmatrix} \begin{bmatrix} 1 & 0 & 0 & 0 \\ 0 & 1 & 0 & 0 \\ 0 & 0 & 1 & d_i \\ 0 & 0 & 0 & 1 \end{bmatrix} \\
&\quad \times \begin{bmatrix} 1 & 0 & 0 & a_i \\ 0 & 1 & 0 & 0 \\ 0 & 0 & 1 & 0 \\ 0 & 0 & 0 & 1 \end{bmatrix} \begin{bmatrix} 1 & 0 & 0 & 0 \\ 0 & c\alpha_i & -s\alpha_i & 0 \\ 0 & s\alpha_i & c\alpha_i & 0 \\ 0 & 0 & 0 & 1 \end{bmatrix} \\
&= \begin{bmatrix} c\theta_i & -s\theta_i c\alpha_i & s\theta_i s\alpha_i & a_i c\theta_i \\ s\theta_i & c\theta_i c\alpha_i & -c\theta_i s\alpha_i & a_i s\theta_i \\ 0 & s\alpha_i & c\alpha_i & d_i \\ 0 & 0 & 0 & 1 \end{bmatrix}
\end{aligned}$$

## MCD de um Manipulador

$$\begin{aligned} T_6^0 &= A_1 \cdots A_6 \\ &= \begin{bmatrix} r_{11} & r_{12} & r_{13} & d_x \\ r_{21} & r_{22} & r_{23} & d_y \\ r_{31} & r_{32} & r_{33} & d_z \\ 0 & 0 & 0 & 1 \end{bmatrix} \end{aligned}$$

## Exemplo 1.1: SCARA



Link	$a_i$	$\alpha_i$	$d_i$	$\theta_i$
1	$a_1$	0	0	$\theta^*$
2	$a_2$	180	0	$\theta^*$
3	0	0	$d^*$	0
4	0	0	$d_4$	$\theta^*$

\* joint variable

## Exemplo 1.1: SCARA

$$A_1 = \begin{bmatrix} c_1 & -s_1 & 0 & a_1 c_1 \\ s_1 & c_1 & 0 & a_1 s_1 \\ 0 & 0 & 1 & 0 \\ 0 & 0 & 0 & 1 \end{bmatrix}$$

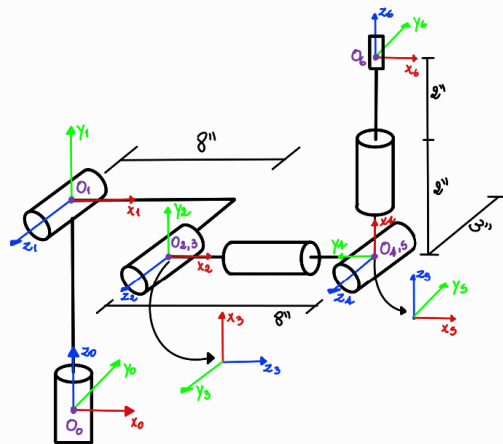
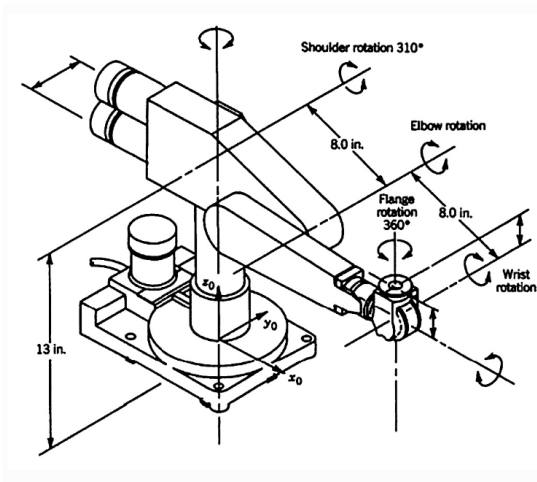
$$A_2 = \begin{bmatrix} c_2 & s_2 & 0 & a_2 c_2 \\ s_2 & -c_2 & 0 & a_2 s_2 \\ 0 & 0 & -1 & 0 \\ 0 & 0 & 0 & 1 \end{bmatrix}$$

$$A_3 = \begin{bmatrix} 1 & 0 & 0 & 0 \\ 0 & 1 & 0 & 0 \\ 0 & 0 & 1 & d_3 \\ 0 & 0 & 0 & 1 \end{bmatrix}$$

$$A_4 = \begin{bmatrix} c_4 & -s_4 & 0 & 0 \\ s_4 & c_4 & 0 & 0 \\ 0 & 0 & 1 & d_4 \\ 0 & 0 & 0 & 1 \end{bmatrix}$$

$$\begin{aligned} T_4^0 &= A_1 \cdots A_4 \\ &= \begin{bmatrix} c_{12}c_4 + s_{12}s_4 & -c_{12}s_4 + s_{12}c_4 & 0 & a_1c_1 + a_2c_{12} \\ s_{12}c_4 - c_{12}s_4 & -s_{12}s_4 - c_{12}c_4 & 0 & a_1s_1 + a_2s_{12} \\ 0 & 0 & -1 & -d_3 - d_4 \\ 0 & 0 & 0 & 1 \end{bmatrix} \end{aligned}$$



Exemplo 1.2: *PUMA 260*

Exemplo 1.2: *PUMA 260*

Tabela de DH - PUMA 260

i	$\theta_i$	$d_i$	$a_i$	$\alpha_i$
1	$\theta_1^*$	13	0	$90^\circ$
2	$\theta_2^*$	3	8	$0^\circ$
3	$\theta_3^* + 90^\circ$	0	0	$90^\circ$
4	$\theta_4^*$	8	0	$-90^\circ$
5	$\theta_5^* - 90^\circ$	0	0	$-90^\circ$
6	$\theta_6^*$	4	0	$0^\circ$

\* variável

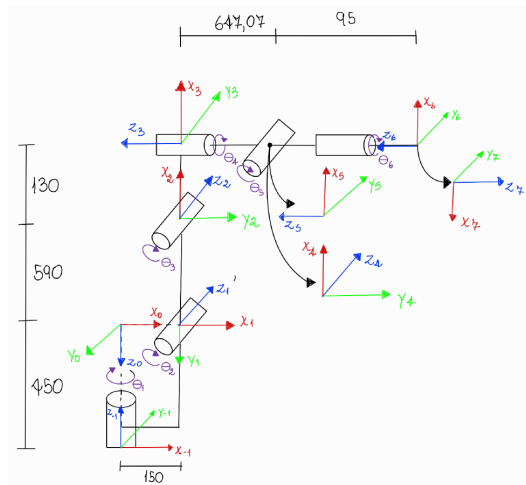
Exemplo 1.2: *PUMA 260*

$$\begin{aligned}
 A_1 &= \begin{bmatrix} c_1 & 0 & s_1 & 0 \\ s_1 & 0 & -c_1 & 0 \\ 0 & 1 & 0 & 13 \\ 0 & 0 & 0 & 1 \end{bmatrix} & A_2 &= \begin{bmatrix} c_2 & -s_2 & 0 & 8c_2 \\ s_2 & c_2 & 0 & 8s_2 \\ 0 & 0 & 1 & 3 \\ 0 & 0 & 0 & 1 \end{bmatrix} & A_3 &= \begin{bmatrix} -s_3 & 0 & c_3 & 0 \\ c_3 & 0 & s_3 & 0 \\ 0 & 1 & 0 & 0 \\ 0 & 0 & 0 & 1 \end{bmatrix} \\
 A_4 &= \begin{bmatrix} c_4 & 0 & -s_4 & 0 \\ s_4 & 0 & c_4 & 0 \\ 0 & -1 & 0 & 8 \\ 0 & 0 & 0 & 1 \end{bmatrix} & A_5 &= \begin{bmatrix} s_5 & 0 & c_5 & 0 \\ -c_5 & 0 & s_5 & 0 \\ 0 & -1 & 0 & 0 \\ 0 & 0 & 0 & 1 \end{bmatrix} & A_6 &= \begin{bmatrix} c_6 & -s_6 & 0 & 0 \\ s_6 & c_6 & 0 & 0 \\ 0 & 0 & 1 & 4 \\ 0 & 0 & 0 & 1 \end{bmatrix}
 \end{aligned}$$

Exemplo 1.2: *PUMA 260*

$$F_6^0 = \begin{bmatrix} c_6(c_1c_{23}c_5 + s_5(-c_1c_4s_{23} + s_1s_4)) - s_6(c_1s_{23}s_4 + c_4s_1) & -c_6(c_1s_{23}s_4 + c_4s_1) - s_6(c_1c_{23}c_5 + s_5(-c_1c_4s_{23} + s_1s_4)) & -c_1c_{23}s_5 + c_5(-c_1c_4s_{23} + s_1s_4) & 8c_1c_2 - 4c_1c_{23}s_5 + 8c_1c_{23} + 4c_5(-c_1c_4s_{23} + s_1s_4) + 3s_1 \\ -c_6(-c_{23}c_5s_1 + s_5(c_1s_4 + c_4s_1s_{23})) - s_6(-c_1c_4 + s_1s_{23}s_4) & -c_6(-c_1c_4 + s_1s_{23}s_4) + s_6(-c_{23}c_5s_1 + s_5(c_1s_4 + c_4s_1s_{23})) & -c_{23}s_1s_5 - c_5(c_1s_4 + c_4s_1s_{23}) & -3c_1 + 8c_2s_1 - 4c_{23}s_1s_5 + 8c_{23}s_1 - 4c_5(c_1s_4 + c_4s_1s_{23}) \\ c_{23}s_4s_6 + c_6(c_{23}c_4s_5 + c_5s_{23}) & c_{23}c_6s_4 - s_6(c_{23}c_4s_5 + c_5s_{23}) & c_{23}c_4c_5 - s_{23}s_5 & 4c_{23}c_4c_5 + 8s_2 - 4s_{23}s_5 + 8s_{23} + 13 \\ 0 & 0 & 0 & 1 \end{bmatrix}$$

## Exemplo 1.3: *Comau Smart5 SiX*



Exemplo 1.3: *Comau Smart5 SiX*

Tabela de DH - Comau Smart5 SiX

$i$	$\theta_i$	$d_i$	$a_i$	$\alpha_i$
1	$\theta_1^*$	0	150	$90^\circ$
2	$\theta_2^* - 90^\circ$	0	590	$180^\circ$
3	$\theta_3^* + 90^\circ$	0	130	$-90^\circ$
4	$\theta_4^*$	-647,07	0	$-90^\circ$
5	$\theta_5^*$	0	0	$90^\circ$
6	$\theta_6^*$	-95	0	$0^\circ$

$$H_0^{-1} = \begin{bmatrix} 1 & 0 & 0 & 0 \\ 0 & -1 & 0 & 0 \\ 0 & 0 & -1 & -450 \\ 0 & 0 & 0 & 1 \end{bmatrix}$$

$$H_7^6 = \begin{bmatrix} -1 & 0 & 0 & 0 \\ 0 & 1 & 0 & 0 \\ 0 & 0 & -1 & 0 \\ 0 & 0 & 0 & 1 \end{bmatrix}$$

Exemplo 1.3: *Comau Smart5 SiX*

$$\begin{aligned}
 A_1 &= \begin{bmatrix} c_1 & 0 & s_1 & 150c_1 \\ -s_1 & 0 & c_1 & -150s_1 \\ 0 & -1 & 0 & 450 \\ 0 & 0 & 0 & 1 \end{bmatrix} & A_2 &= \begin{bmatrix} s_2 & -c_2 & 0 & 590s_2 \\ -c_2 & -s_2 & 0 & -590c_2 \\ 0 & 0 & -1 & 0 \\ 0 & 0 & 0 & 1 \end{bmatrix} & A_3 &= \begin{bmatrix} -s_3 & 0 & -c_3 & -130s_3 \\ c_3 & 0 & -s_3 & 130c_3 \\ 0 & -1 & 0 & 0 \\ 0 & 0 & 0 & 1 \end{bmatrix} \\
 A_4 &= \begin{bmatrix} c_4 & 0 & -s_4 & 0 \\ s_4 & 0 & c_4 & 0 \\ 0 & -1 & 0 & -647.07 \\ 0 & 0 & 0 & 1 \end{bmatrix} & A_5 &= \begin{bmatrix} c_5 & 0 & s_5 & 0 \\ s_5 & 0 & -c_5 & 0 \\ 0 & 1 & 0 & 0 \\ 0 & 0 & 0 & 1 \end{bmatrix} & A_6 &= \begin{bmatrix} -c_6 & -s_6 & 0 & 0 \\ -s_6 & c_6 & 0 & 0 \\ 0 & 0 & -1 & -95 \\ 0 & 0 & 0 & 1 \end{bmatrix}
 \end{aligned}$$

Exemplo 1.3: *Comau Smart5 SiX*

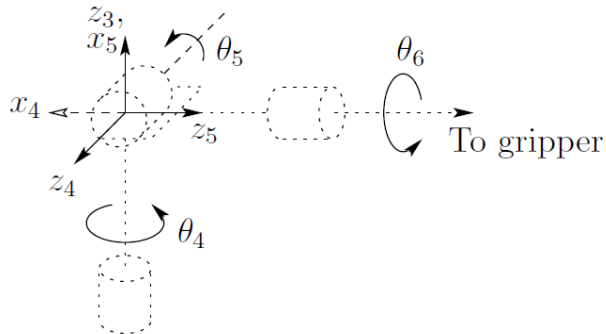
$$H_6^0 = \begin{bmatrix} -c_6 (c_3 s_3 s_{(2-3)} + c_5 (-c_1 c_4 c_{(2-3)} + s_1 s_4)) - s_6 (c_1 c_{(2-3)} s_4 + c_4 s_1) & c_6 (c_3 c_{(2-3)} s_4 + c_5 s_1) - s_6 (c_3 s_1 s_{(2-3)} + c_5 (-c_1 c_4 c_{(2-3)} + s_1 s_4)) & c_1 c_3 s_{(2-3)} - s_6 (-c_1 c_4 c_{(2-3)} + s_1 s_4) & 95 c_1 c_3 s_{(2-3)} + c_3 (-130.0 c_{(2-3)} + 590.0 s_2 + 647.07 s_{(2-3)} + 150.0) - 95 s_5 (-c_1 c_4 c_{(2-3)} + s_1 s_4) \\ -c_6 (c_5 (c_1 s_4 + c_4 c_{(2-3)} s_1) - s_1 s_5 s_{(2-3)}) + s_6 (-c_3 c_4 + c_{(2-3)} s_1 s_4) & -c_6 (-c_1 c_4 + c_{(2-3)} s_1 s_4) - s_6 (c_5 (c_1 s_4 + c_4 c_{(2-3)} s_1) - s_1 s_5 s_{(2-3)}) & -c_3 s_1 s_{(2-3)} - s_5 (c_1 s_4 + c_4 c_{(2-3)} s_1) & -95 c_3 s_1 s_{(2-3)} - s_1 (-130.0 c_{(2-3)} + 590.0 s_2 + 647.07 s_{(2-3)} + 150.0) - 95 s_5 (c_1 s_4 + c_4 c_{(2-3)} s_1) \\ -c_6 (c_4 c_3 s_{(2-3)} + c_{(2-3)} s_3) + s_4 s_6 s_{(2-3)} & -c_6 (c_4 c_3 s_{(2-3)} - s_6 (c_4 c_3 s_{(2-3)} + c_{(2-3)} s_3)) & -c_4 s_3 s_{(2-3)} + c_3 c_{(2-3)} & 590.0 c_2 - 95.0 c_1 s_3 s_{(2-3)} + 95.0 c_3 c_{(2-3)} + 647.07 c_{(2-3)} + 130.0 s_{(2-3)} + 450.0 \\ 0 & 0 & 0 & 1 \end{bmatrix}$$



## Definição e Objetivos

- Deseja-se encontrar as soluções angulares que levam o manipulador à pose desejada
- Haverão várias soluções para uma mesma pose, a depender do manipulador em questão
- Métodos: Analítico X Geométrico X Numérico

## O Punho Esférico



Link	$a_i$	$\alpha_i$	$d_i$	$\theta_i$
4	0	-90	0	$\theta_4^*$
5	0	90	0	$\theta_5^*$
6	0	0	$d_6$	$\theta_6^*$

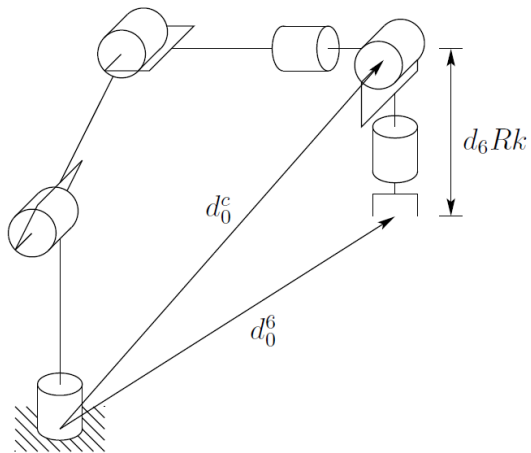
\* variable

## O Punho Esférico

$$A_4 = \begin{bmatrix} c_4 & 0 & -s_4 & 0 \\ s_4 & 0 & c_4 & 0 \\ 0 & -1 & 0 & 0 \\ 0 & 0 & 0 & 1 \end{bmatrix} \quad A_5 = \begin{bmatrix} c_5 & 0 & s_5 & 0 \\ s_5 & 0 & -c_5 & 0 \\ 0 & -1 & 0 & 0 \\ 0 & 0 & 0 & 1 \end{bmatrix} \quad A_6 = \begin{bmatrix} c_6 & -s_6 & 0 & 0 \\ s_6 & c_6 & 0 & 0 \\ 0 & 0 & 1 & d_6 \\ 0 & 0 & 0 & 1 \end{bmatrix}$$

$$\begin{aligned} T_6^3 &= A_4 A_5 A_6 \\ &= \begin{bmatrix} R_6^3 & o_6^3 \\ 0 & 1 \end{bmatrix} \\ &= \begin{bmatrix} c_4 c_5 c_6 - s_4 s_6 & -c_4 c_5 s_6 - s_4 c_6 & c_4 s_5 & c_4 s_5 d_6 \\ s_4 c_5 c_6 + c_4 s_6 & -s_4 c_5 s_6 + c_4 c_6 & s_4 s_5 & s_4 s_5 d_6 \\ -s_5 c_6 & s_5 s_6 & c_5 & c_5 d_6 \\ 0 & 0 & 0 & 1 \end{bmatrix} \end{aligned}$$

## Desacoplamento Cinemático



# Desacoplamento Cinemático

Para Posição:

$$o_c^0 = o - d_6 R \begin{bmatrix} 0 \\ 0 \\ 1 \end{bmatrix}$$

$$\begin{bmatrix} x_c \\ y_c \\ z_c \end{bmatrix} = \begin{bmatrix} o_x - d_6 r_{13} \\ o_y - d_6 r_{23} \\ o_z - d_6 r_{33} \end{bmatrix}$$

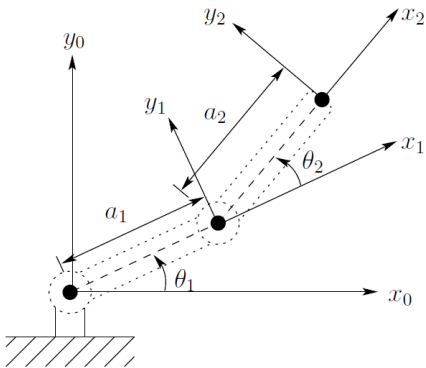
Para Orientação:

$$R_6^3 = (R_3^0)^{-1} R = (R_3^0)^T R$$

## Função $atan2()$

- As soluções angulares serão da forma:  $\theta = atan2(x, y) = A_{tan2}(c_{\theta}, s_{\theta})$
- O uso das funções  $arccos$  e  $arcsin$  poderiam gerar resposta incorreta para a configuração desejada, devido à ambiguidade de soluções para um mesmo valor de seno ou cosseno
- A função  $arctan$  também não é indicada, pois retorna o ângulo no intervalo  $]-\frac{\pi}{2}, \frac{\pi}{2}]$ , por possuir apenas um argumento
- A função  $atan2()$  possui dois argumentos, retornando o Ângulo no intervalo  $]-\pi, \pi]$

## Exemplo 2.1.1: 2R Planar



Link	$a_i$	$\alpha_i$	$d_i$	$\theta_i$
1	$a_1$	0	0	$\theta_1^*$
2	$a_2$	0	0	$\theta_2^*$

\* variable

## Exemplo 2.1.1: 2R Planar

$$A_1 = \begin{bmatrix} c_1 & -s_1 & 0 & a_1 c_1 \\ s_1 & c_1 & 0 & a_1 s_1 \\ 0 & 0 & 1 & 0 \\ 0 & 0 & 0 & 1 \end{bmatrix}$$

$$A_2 = \begin{bmatrix} c_2 & -s_2 & 0 & a_2 c_2 \\ s_2 & c_2 & 0 & a_2 s_2 \\ 0 & 0 & 1 & 0 \\ 0 & 0 & 0 & 1 \end{bmatrix}$$

$$T_1^0 = A_1$$

$$T_2^0 = A_1 A_2 = \begin{bmatrix} c_{12} & -s_{12} & 0 & a_1 c_1 + a_2 c_{12} \\ s_{12} & c_{12} & 0 & a_1 s_1 + a_2 s_{12} \\ 0 & 0 & 1 & 0 \\ 0 & 0 & 0 & 1 \end{bmatrix}$$



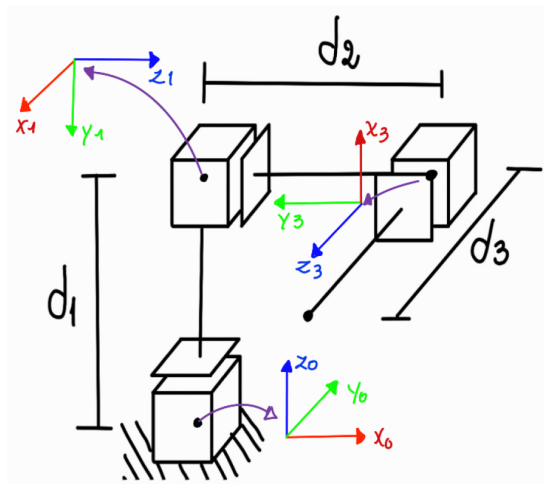
## Exemplo 2.1.1: 2R Planar

$$\theta_1 = \text{atan2}(x, y) - \text{atan2}\left(\frac{a_2 s_2}{a_1 + a_2 c_2}\right)$$

$$c_2 = \frac{x^2 + y^2 - a_1^2 - a_2^2}{2a_1 a_2}$$

$$\theta_2 = \pm \text{atan2}\left(c_2, \sqrt{1 - c_2^2}\right)$$

## Exemplo 2.1.2: Manipulador Cartesiano



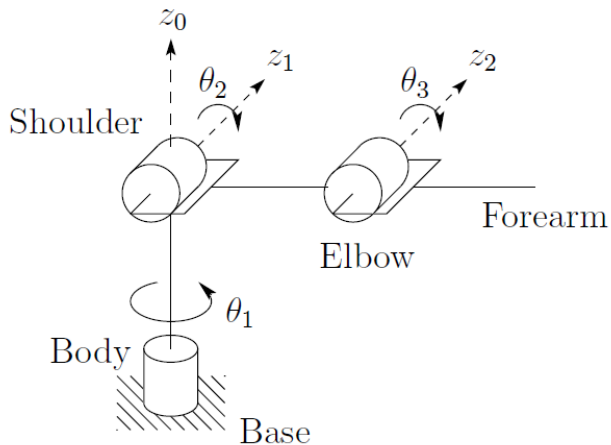
## Exemplo 2.1.2: Manipulador Cartesiano

$$d_1 = z - l_1$$

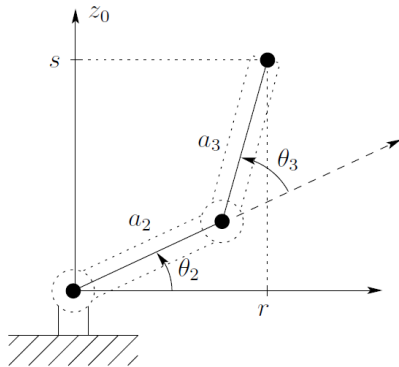
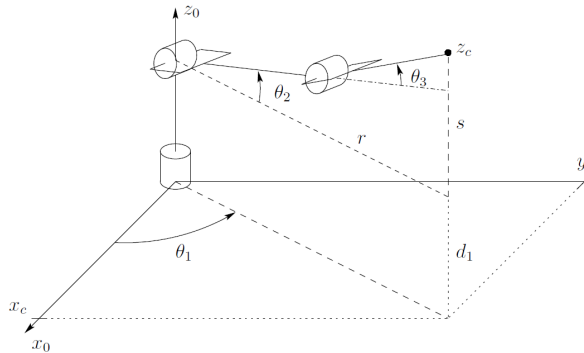
$$d_2 = x - l_2$$

$$d_3 = -y - l_3$$

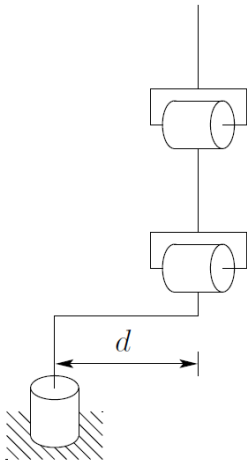
## Exemplo 2.1.3: 3R Cotovelar



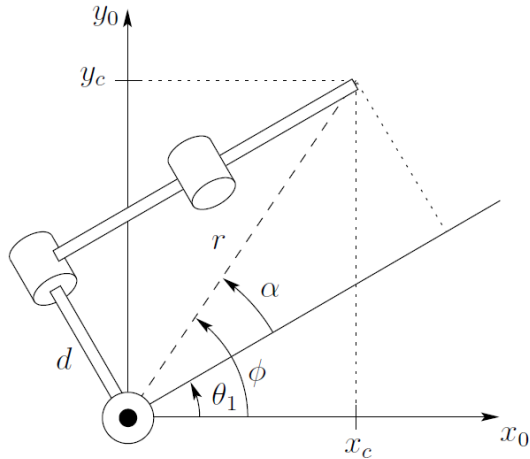
## Exemplo 2.1.3: 3R Cotovelar



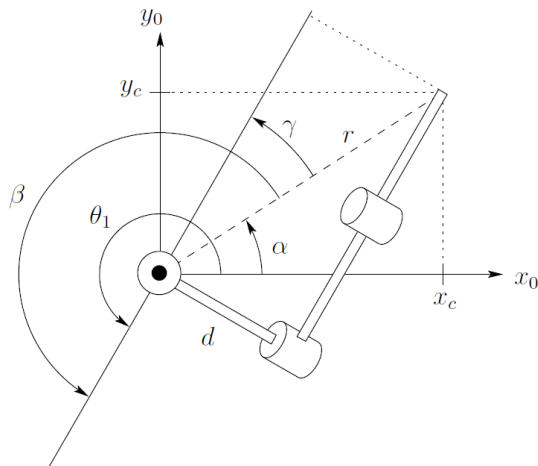
## Exemplo 2.1.4: 3R Cotovelar + deslocamento em Y



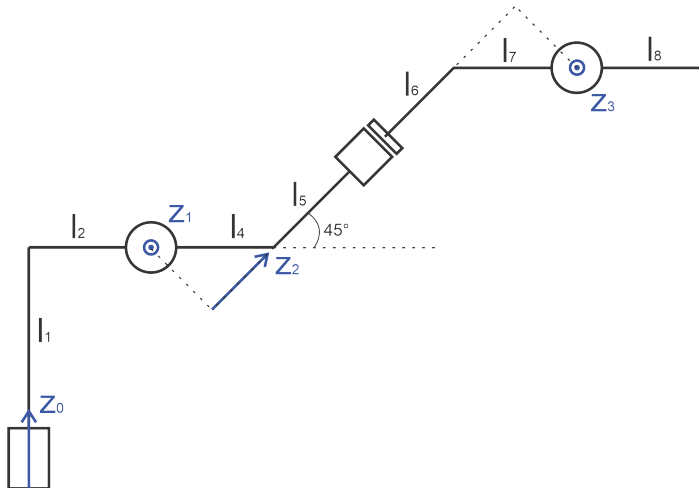
## Exemplo 2.1.4: 3R Cotovelar + deslocamento em Y



## Exemplo 2.1.4: 3R Cotovelar + deslocamento em Y





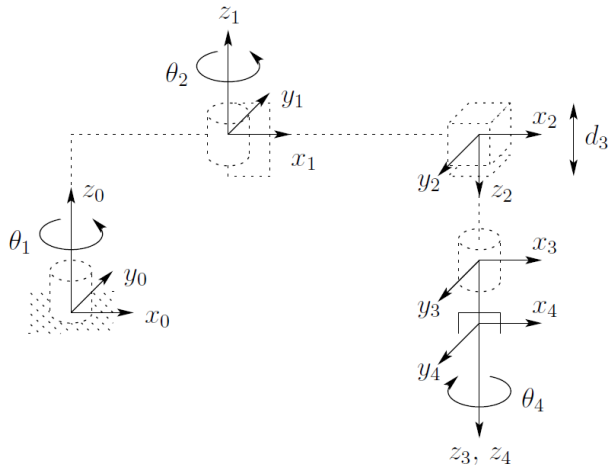
Exemplo 2.1.5: RRPR com *link* angulado

# Orientação Generalizada pelo Punho Esférico

$$R_6^3 = \begin{bmatrix} c_4 c_5 c_6 - s_4 s_6 & -c_4 c_5 s_6 - s_4 c_6 & c_4 s_5 \\ s_4 c_5 c_6 + c_4 s_6 & -s_4 c_5 s_6 + c_4 c_6 & s_4 s_5 \\ -s_5 c_6 & s_5 s_6 & c_5 \end{bmatrix}$$

$$R_6^3 = (R_3^0)^T R$$

## Exemplo 2.2.1: SCARA



Link	$a_i$	$\alpha_i$	$d_i$	$\theta_i$
1	$a_1$	0	0	$\theta^*$
2	$a_2$	180	0	$\theta^*$
3	0	0	$d^*$	0
4	0	0	$d_4$	$\theta^*$

\* joint variable

## Exemplo 2.2.1: SCARA

$$A_1 = \begin{bmatrix} c_1 & -s_1 & 0 & a_1 c_1 \\ s_1 & c_1 & 0 & a_1 s_1 \\ 0 & 0 & 1 & 0 \\ 0 & 0 & 0 & 1 \end{bmatrix}$$

$$A_2 = \begin{bmatrix} c_2 & s_2 & 0 & a_2 c_2 \\ s_2 & -c_2 & 0 & a_2 s_2 \\ 0 & 0 & -1 & 0 \\ 0 & 0 & 0 & 1 \end{bmatrix}$$

$$A_3 = \begin{bmatrix} 1 & 0 & 0 & 0 \\ 0 & 1 & 0 & 0 \\ 0 & 0 & 1 & d_3 \\ 0 & 0 & 0 & 1 \end{bmatrix}$$

$$A_4 = \begin{bmatrix} c_4 & -s_4 & 0 & 0 \\ s_4 & c_4 & 0 & 0 \\ 0 & 0 & 1 & d_4 \\ 0 & 0 & 0 & 1 \end{bmatrix}$$

$$\begin{aligned} T_4^0 &= A_1 \cdots A_4 \\ &= \begin{bmatrix} c_{12}c_4 + s_{12}s_4 & -c_{12}s_4 + s_{12}c_4 & 0 & a_1c_1 + a_2c_{12} \\ s_{12}c_4 - c_{12}s_4 & -s_{12}s_4 - c_{12}c_4 & 0 & a_1s_1 + a_2s_{12} \\ 0 & 0 & -1 & -d_3 - d_4 \\ 0 & 0 & 0 & 1 \end{bmatrix} \end{aligned}$$

## Exemplo 2.2.1: SCARA

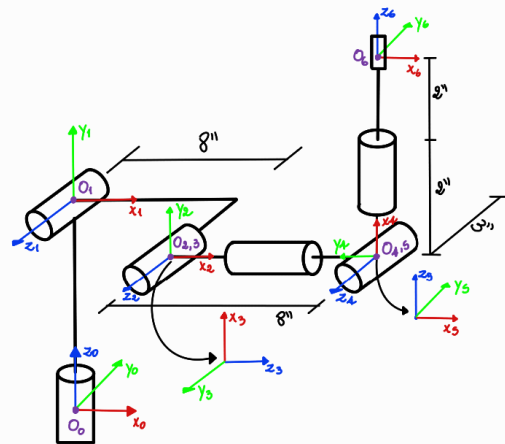
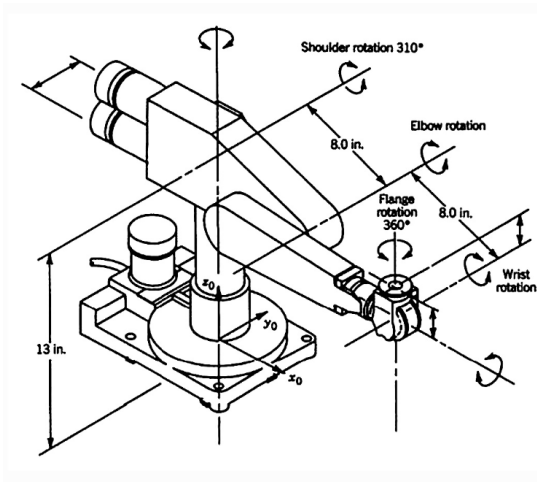
$$c_2 = \frac{x^2 + y^2 - a_1^2 - a_2^2}{2a_1a_2}$$

$$\theta_2 = \text{atan2} \left( c_2, \sqrt{1 - c_2^2} \right)$$

$$\theta_1 = \text{atan2}(x, y) - \text{atan2}(a_1 + a_2c_2, a_2s_2)$$

$$\theta_4 = \theta_1 + \theta_2 - \text{atan2}(r_{11}, r_{12})$$

$$d_3 = z - d_4$$

Exemplo 2.2.2: *PUMA 260*

Exemplo 2.2.2: *PUMA 260*

Tabela de DH - PUMA 260

i	$\theta_i$	$d_i$	$a_i$	$\alpha_i$
1	$\theta_1^*$	13	0	$90^\circ$
2	$\theta_2^*$	3	8	$0^\circ$
3	$\theta_3^* + 90^\circ$	0	0	$90^\circ$
4	$\theta_4^*$	8	0	$-90^\circ$
5	$\theta_5^* - 90^\circ$	0	0	$-90^\circ$
6	$\theta_6^*$	4	0	$0^\circ$

\* variável

Exemplo 2.2.2: *PUMA 260*

$$\begin{aligned}
 A_1 &= \begin{bmatrix} c_1 & 0 & s_1 & 0 \\ s_1 & 0 & -c_1 & 0 \\ 0 & 1 & 0 & 13 \\ 0 & 0 & 0 & 1 \end{bmatrix} & A_2 &= \begin{bmatrix} c_2 & -s_2 & 0 & 8c_2 \\ s_2 & c_2 & 0 & 8s_2 \\ 0 & 0 & 1 & 3 \\ 0 & 0 & 0 & 1 \end{bmatrix} & A_3 &= \begin{bmatrix} -s_3 & 0 & c_3 & 0 \\ c_3 & 0 & s_3 & 0 \\ 0 & 1 & 0 & 0 \\ 0 & 0 & 0 & 1 \end{bmatrix} \\
 A_4 &= \begin{bmatrix} c_4 & 0 & -s_4 & 0 \\ s_4 & 0 & c_4 & 0 \\ 0 & -1 & 0 & 8 \\ 0 & 0 & 0 & 1 \end{bmatrix} & A_5 &= \begin{bmatrix} s_5 & 0 & c_5 & 0 \\ -c_5 & 0 & s_5 & 0 \\ 0 & -1 & 0 & 0 \\ 0 & 0 & 0 & 1 \end{bmatrix} & A_6 &= \begin{bmatrix} c_6 & -s_6 & 0 & 0 \\ s_6 & c_6 & 0 & 0 \\ 0 & 0 & 1 & 4 \\ 0 & 0 & 0 & 1 \end{bmatrix}
 \end{aligned}$$



Exemplo 2.2.2: *PUMA 260*

$$H_6^0 = \begin{bmatrix} c_6(c_1c_{23}c_5 + s_5(-c_1c_4s_{23} + s_1s_4)) - s_6(c_1s_{23}s_4 + c_4s_1) & -c_6(c_1s_{23}s_4 + c_4s_1) - s_6(c_1c_{23}c_5 + s_5(-c_1c_4s_{23} + s_1s_4)) & -c_1c_{23}s_5 + c_5(-c_1c_4s_{23} + s_1s_4) & 8c_1c_2 - 4c_1c_{23}s_5 + 8c_1c_{23} + 4c_5(-c_1c_4s_{23} + s_1s_4) + 3s_1 \\ -c_6(-c_{23}c_5s_1 + s_5(c_1s_4 + c_4s_1s_{23})) - s_6(-c_1c_4 + s_1s_{23}s_4) & -c_6(-c_1c_4 + s_1s_{23}s_4) + s_6(-c_{23}c_5s_1 + s_5(c_1s_4 + c_4s_1s_{23})) & -c_{23}s_1s_5 - c_5(c_1s_4 + c_4s_1s_{23}) & -3c_1 + 8c_2s_1 - 4c_{23}s_1s_5 + 8c_{23}s_1 - 4c_5(c_1s_4 + c_4s_1s_{23}) \\ c_{23}s_4s_6 + c_6(c_{23}c_4s_5 + c_5s_{23}) & c_{23}c_6s_4 - s_6(c_{23}c_4s_5 + c_5s_{23}) & c_{23}c_4c_5 - s_{23}s_5 & 4c_{23}c_4c_5 + 8s_2 - 4s_{23}s_5 + 8s_{23} + 13 \\ 0 & 0 & 0 & 1 \end{bmatrix}$$

## Exemplo 2.2.2: PUMA 260

$$r^2 = x_c^2 + y_c^2 + 3^2$$

$$\theta_1 = \text{atan2}(x_c, y_c) \pm \text{atan2}(r, 3)$$

$$c_3 = \frac{r^2 + (z_c - 13)^2}{128} - 1$$

$$\theta_3 = \pm \text{atan2}(c_3, \sqrt{1 - c_3^2})$$

$$\theta_2 = \text{atan2}(r, (z_c - 13)) - \text{atan2}(8(1 + c_3), 8s_3)$$

$$s_5 = -c_1 c_{23} r_{13} - c_{23} s_1 r_{2,3} - s_{23}$$

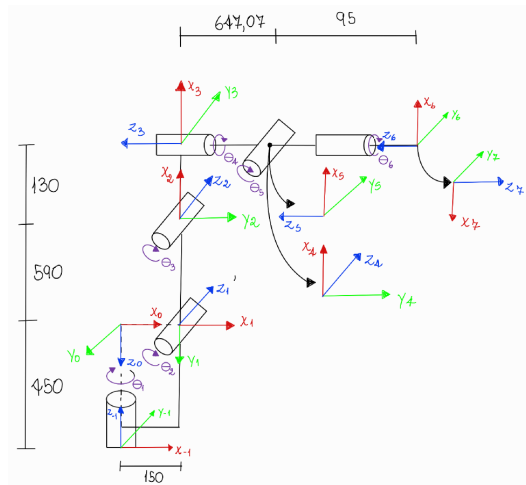
$$\theta_5 = \text{atan2}(1 - \sqrt{1 - s_5^2})$$

$$c_6 = \frac{c_1 c_{12} r_{11} + c_{23} s_1 r_{21} + s_{23} r_{31}}{c_5}$$

$$\theta_6 = \text{atan2}(c_6, \sqrt{1 - c_6^2})$$

$$s_4 = \frac{s_1 r_{13} - c_1 r_{23}}{c_5}$$

$$\theta_4 = \text{atan2}(1 - \sqrt{1 - s_4^2})$$

Exemplo 2.2.3: *Comau Smart5 SiX*

Exemplo 2.2.3: *Comau Smart5 SiX*

Tabela de DH - Comau Smart5 SiX

$i$	$\theta_i$	$d_i$	$a_i$	$\alpha_i$
1	$\theta_1^*$	0	150	$90^\circ$
2	$\theta_2^* - 90^\circ$	0	590	$180^\circ$
3	$\theta_3^* + 90^\circ$	0	130	$-90^\circ$
4	$\theta_4^*$	-647,07	0	$-90^\circ$
5	$\theta_5^*$	0	0	$90^\circ$
6	$\theta_6^*$	-95	0	$0^\circ$

$$H_0^{-1} = \begin{bmatrix} 1 & 0 & 0 & 0 \\ 0 & -1 & 0 & 0 \\ 0 & 0 & -1 & -450 \\ 0 & 0 & 0 & 1 \end{bmatrix}$$

$$H_7^6 = \begin{bmatrix} -1 & 0 & 0 & 0 \\ 0 & 1 & 0 & 0 \\ 0 & 0 & -1 & 0 \\ 0 & 0 & 0 & 1 \end{bmatrix}$$

Exemplo 2.2.3: *Comau Smart5 SiX*

$$\begin{aligned}
 A_1 &= \begin{bmatrix} c_1 & 0 & s_1 & 150c_1 \\ -s_1 & 0 & c_1 & -150s_1 \\ 0 & -1 & 0 & 450 \\ 0 & 0 & 0 & 1 \end{bmatrix} & A_2 &= \begin{bmatrix} s_2 & -c_2 & 0 & 590s_2 \\ -c_2 & -s_2 & 0 & -590c_2 \\ 0 & 0 & -1 & 0 \\ 0 & 0 & 0 & 1 \end{bmatrix} & A_3 &= \begin{bmatrix} -s_3 & 0 & -c_3 & -130s_3 \\ c_3 & 0 & -s_3 & 130c_3 \\ 0 & -1 & 0 & 0 \\ 0 & 0 & 0 & 1 \end{bmatrix} \\
 A_4 &= \begin{bmatrix} c_4 & 0 & -s_4 & 0 \\ s_4 & 0 & c_4 & 0 \\ 0 & -1 & 0 & -647.07 \\ 0 & 0 & 0 & 1 \end{bmatrix} & A_5 &= \begin{bmatrix} c_5 & 0 & s_5 & 0 \\ s_5 & 0 & -c_5 & 0 \\ 0 & 1 & 0 & 0 \\ 0 & 0 & 0 & 1 \end{bmatrix} & A_6 &= \begin{bmatrix} -c_6 & -s_6 & 0 & 0 \\ -s_6 & c_6 & 0 & 0 \\ 0 & 0 & -1 & -95 \\ 0 & 0 & 0 & 1 \end{bmatrix}
 \end{aligned}$$

Exemplo 2.2.3: *Comau Smart5 SiX*

$$H_6^0 = \begin{bmatrix} -c_4 (c_3 s_3 s_{(2-3)} + c_5 (-c_1 c_4 c_{(2-3)} + s_1 s_4)) - s_4 (c_1 c_{(2-3)} s_4 + c_4 s_1) & c_6 (c_3 c_{(2-3)} s_4 + c_6 s_1) - s_6 (c_3 s_1 s_{(2-3)} + c_5 (-c_1 c_4 c_{(2-3)} + s_1 s_4)) & c_1 c_3 s_{(2-3)} - s_5 (-c_1 c_4 c_{(2-3)} + s_1 s_4) & 95 c_1 c_3 s_{(2-3)} + c_3 (-130.0 c_{(2-3)} + 590.0 s_2 + 647.07 s_{(2-3)} + 150.0) - 95 s_5 (-c_1 c_4 c_{(2-3)} + s_1 s_4) \\ -c_4 (c_5 (c_1 s_4 + c_4 c_{(2-3)} s_1) - s_1 s_5 s_{(2-3)}) + s_6 (-c_3 c_4 + c_{(2-3)} s_1 s_4) & -c_6 (-c_1 c_4 + c_{(2-3)} s_1 s_4) - s_4 (c_5 (c_1 s_4 + c_4 c_{(2-3)} s_1) - s_1 s_5 s_{(2-3)}) & -c_3 s_1 s_{(2-3)} - s_5 (c_1 s_4 + c_4 c_{(2-3)} s_1) & -95 c_3 s_1 s_{(2-3)} - s_1 (-130.0 c_{(2-3)} + 590.0 s_2 + 647.07 s_{(2-3)} + 150.0) - 95 s_5 (c_1 s_4 + c_4 c_{(2-3)} s_1) \\ -c_4 (c_4 c_3 s_{(2-3)} + c_{(2-3)} s_3) + s_4 s_4 s_{(2-3)} & -c_4 s_4 s_{(2-3)} - s_6 (c_4 c_3 s_{(2-3)} + c_{(2-3)} s_3) & -c_4 s_4 s_{(2-3)} + c_3 c_{(2-3)} & 590.0 c_2 - 95.0 c_1 s_4 s_{(2-3)} + 95.0 c_3 c_{(2-3)} + 647.07 c_{(2-3)} + 130.0 s_{(2-3)} + 450.0 \\ 0 & 0 & 0 & 1 \end{bmatrix}$$

# O Jacobiano

$$\xi = J(q)\dot{q}$$

$$\xi = \begin{bmatrix} v_x \\ v_y \\ v_z \\ \omega_x \\ \omega_y \\ \omega_z \end{bmatrix} \quad e \quad \dot{q} = \begin{bmatrix} q_1 \\ q_2 \\ \vdots \\ q_n \end{bmatrix} \quad e \quad J(q) = \begin{bmatrix} J_v(q) \\ J_\omega(q) \end{bmatrix}$$

# Jacobiano de Velocidades Lineares

$$J_v(q) = \begin{bmatrix} \frac{\partial x}{\partial q_1} & \frac{\partial x}{\partial q_2} & \cdots & \frac{\partial x}{\partial q_n} \\ \frac{\partial y}{\partial q_1} & \frac{\partial y}{\partial q_2} & \cdots & \frac{\partial y}{\partial q_n} \\ \frac{\partial z}{\partial q_1} & \frac{\partial z}{\partial q_2} & \cdots & \frac{\partial z}{\partial q_n} \end{bmatrix}$$



# Jacobiano de Velocidades Angulares

$J_{\omega_i} = z_{i-1}$ , se a junta é rotacional.

$J_{\omega_i} = [0, 0, 0]^T$ , se a junta é prismática.

# Jacobiano Completo

$$J(q) = \begin{bmatrix} J_v(q) \\ J_\omega(q) \end{bmatrix}$$

$$J_i = \begin{cases} \begin{bmatrix} z_{i-1} \times (o_n - o_{i-1}) \\ z_{i-1} \end{bmatrix} & \text{if joint } i \text{ is revolute} \\ \begin{bmatrix} z_{i-1} \\ 0 \end{bmatrix} & \text{if joint } i \text{ is prismatic} \end{cases}$$

# Jacobiano Inverso e Velocidades Articulares

$$\dot{q} = J^{-1}(q)\xi$$

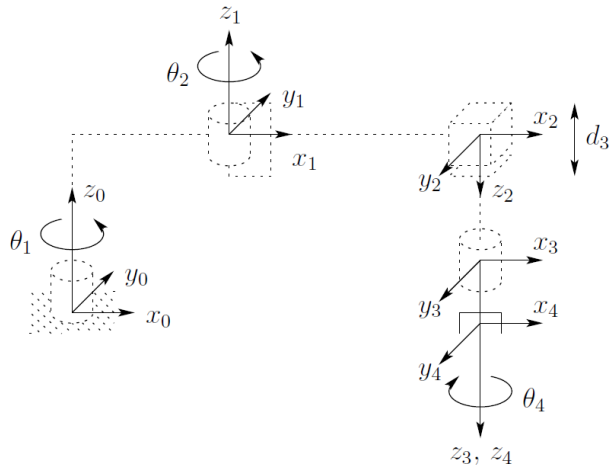
$$\xi = \begin{bmatrix} v_x \\ v_y \\ v_z \\ \omega_x \\ \omega_y \\ \omega_z \end{bmatrix} \quad e \quad \dot{q} = \begin{bmatrix} q_1 \\ q_2 \\ \vdots \\ q_n \end{bmatrix} \quad e \quad J(q) = \begin{bmatrix} J_v(q) \\ J_\omega(q) \end{bmatrix}$$

# Inversão de Matrizes

A partir de uma matriz  $A$ :

- 1 Calcular  $\det(A)$
- 2 Obter a matriz de cofatores  $C$ , onde  $c_{ij} = (-1)^{i+j}|a_{ij}|$
- 3 Obter a matriz adjunta:  $\bar{A} = C^T$
- 4 Obter a matriz inversa:  $M^{-1} = \frac{1}{\det(A)}\bar{A}$

## Exemplo 3.1: SCARA



Link	$a_i$	$\alpha_i$	$d_i$	$\theta_i$
1	$a_1$	0	0	$\theta^*$
2	$a_2$	180	0	$\theta^*$
3	0	0	$d^*$	0
4	0	0	$d_4$	$\theta^*$

\* joint variable

## Exemplo 3.1: SCARA

$$A_1 = \begin{bmatrix} c_1 & -s_1 & 0 & a_1 c_1 \\ s_1 & c_1 & 0 & a_1 s_1 \\ 0 & 0 & 1 & 0 \\ 0 & 0 & 0 & 1 \end{bmatrix}$$

$$A_2 = \begin{bmatrix} c_2 & s_2 & 0 & a_2 c_2 \\ s_2 & -c_2 & 0 & a_2 s_2 \\ 0 & 0 & -1 & 0 \\ 0 & 0 & 0 & 1 \end{bmatrix}$$

$$A_3 = \begin{bmatrix} 1 & 0 & 0 & 0 \\ 0 & 1 & 0 & 0 \\ 0 & 0 & 1 & d_3 \\ 0 & 0 & 0 & 1 \end{bmatrix}$$

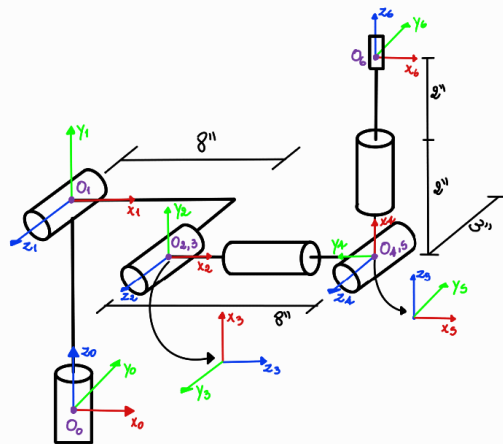
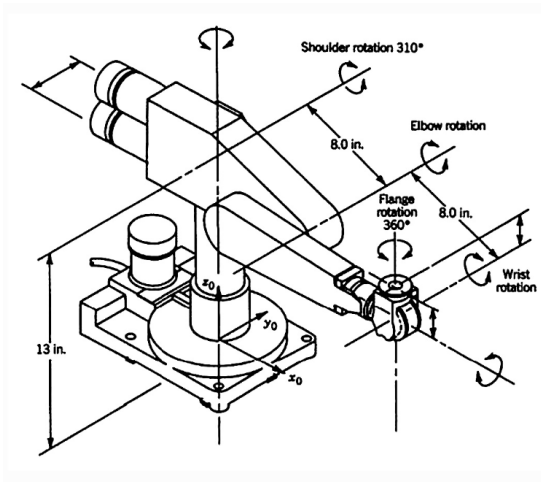
$$A_4 = \begin{bmatrix} c_4 & -s_4 & 0 & 0 \\ s_4 & c_4 & 0 & 0 \\ 0 & 0 & 1 & d_4 \\ 0 & 0 & 0 & 1 \end{bmatrix}$$

$$\begin{aligned} T_4^0 &= A_1 \cdots A_4 \\ &= \begin{bmatrix} c_{12}c_4 + s_{12}s_4 & -c_{12}s_4 + s_{12}c_4 & 0 & a_1c_1 + a_2c_{12} \\ s_{12}c_4 - c_{12}s_4 & -s_{12}s_4 - c_{12}c_4 & 0 & a_1s_1 + a_2s_{12} \\ 0 & 0 & -1 & -d_3 - d_4 \\ 0 & 0 & 0 & 1 \end{bmatrix} \end{aligned}$$

## Exemplo 3.1: SCARA

$$J = \begin{bmatrix} -a_1 s_1 - a_2 s_{12} & -a_2 s_{12} & 0 & 0 \\ a_1 c_1 + a_2 c_{12} & a_2 c_{12} & 0 & 0 \\ 0 & 0 & -1 & 0 \\ 0 & 0 & 0 & 0 \\ 0 & 0 & 0 & 0 \\ 1 & 1 & 0 & -1 \end{bmatrix}$$

## Exemplo 3.2: PUMA 260





Exemplo 3.2: *PUMA 260*

Tabela de DH - PUMA 260

i	$\theta_i$	$d_i$	$a_i$	$\alpha_i$
1	$\theta_1^*$	13	0	$90^\circ$
2	$\theta_2^*$	3	8	$0^\circ$
3	$\theta_3^* + 90^\circ$	0	0	$90^\circ$
4	$\theta_4^*$	8	0	$-90^\circ$
5	$\theta_5^* - 90^\circ$	0	0	$-90^\circ$
6	$\theta_6^*$	4	0	$0^\circ$

\* variável

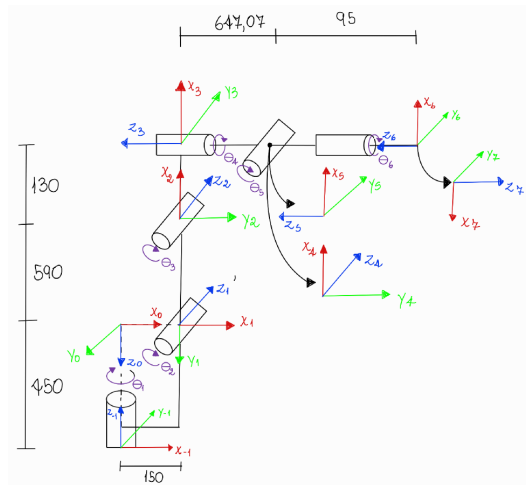
Exemplo 3.2: *PUMA 260*

$$\begin{aligned}
 A_1 &= \begin{bmatrix} c_1 & 0 & s_1 & 0 \\ s_1 & 0 & -c_1 & 0 \\ 0 & 1 & 0 & 13 \\ 0 & 0 & 0 & 1 \end{bmatrix} & A_2 &= \begin{bmatrix} c_2 & -s_2 & 0 & 8c_2 \\ s_2 & c_2 & 0 & 8s_2 \\ 0 & 0 & 1 & 3 \\ 0 & 0 & 0 & 1 \end{bmatrix} & A_3 &= \begin{bmatrix} -s_3 & 0 & c_3 & 0 \\ c_3 & 0 & s_3 & 0 \\ 0 & 1 & 0 & 0 \\ 0 & 0 & 0 & 1 \end{bmatrix} \\
 A_4 &= \begin{bmatrix} c_4 & 0 & -s_4 & 0 \\ s_4 & 0 & c_4 & 0 \\ 0 & -1 & 0 & 8 \\ 0 & 0 & 0 & 1 \end{bmatrix} & A_5 &= \begin{bmatrix} s_5 & 0 & c_5 & 0 \\ -c_5 & 0 & s_5 & 0 \\ 0 & -1 & 0 & 0 \\ 0 & 0 & 0 & 1 \end{bmatrix} & A_6 &= \begin{bmatrix} c_6 & -s_6 & 0 & 0 \\ s_6 & c_6 & 0 & 0 \\ 0 & 0 & 1 & 4 \\ 0 & 0 & 0 & 1 \end{bmatrix}
 \end{aligned}$$

Exemplo 3.2: *PUMA 260*

$$H_6^0 = \begin{bmatrix} c_6(c_1c_{23}c_5 + s_5(-c_1c_4s_{23} + s_1s_4)) - s_6(c_1s_{23}s_4 + c_4s_1) & -c_6(c_1s_{23}s_4 + c_4s_1) - s_6(c_1c_{23}c_5 + s_5(-c_1c_4s_{23} + s_1s_4)) & -c_1c_{23}s_5 + c_5(-c_1c_4s_{23} + s_1s_4) & 8c_1c_2 - 4c_1c_{23}s_5 + 8c_1c_{23} + 4c_5(-c_1c_4s_{23} + s_1s_4) + 3s_1 \\ -c_6(-c_{23}c_5s_1 + s_5(c_1s_4 + c_4s_1s_{23})) - s_6(-c_1c_4 + s_1s_{23}s_4) & -c_6(-c_1c_4 + s_1s_{23}s_4) + s_6(-c_{23}c_5s_1 + s_5(c_1s_4 + c_4s_1s_{23})) & -c_{23}s_1s_5 - c_5(c_1s_4 + c_4s_1s_{23}) & -3c_1 + 8c_2s_1 - 4c_{23}s_1s_5 + 8c_{23}s_1 - 4c_5(c_1s_4 + c_4s_1s_{23}) \\ c_{23}s_4s_6 + c_6(c_{23}c_4s_5 + c_5s_{23}) & c_{23}c_6s_4 - s_6(c_{23}c_4s_5 + c_5s_{23}) & c_{23}c_4c_5 - s_{23}s_5 & 4c_{23}c_4c_5 + 8s_2 - 4s_{23}s_5 + 8s_{23} + 13 \\ 0 & 0 & 0 & 1 \end{bmatrix}$$

# Exemplo 3.3: Comau Smart5 SiX



Exemplo 3.3: *Comau Smart5 SiX*

Tabela de DH - Comau Smart5 SiX

$i$	$\theta_i$	$d_i$	$a_i$	$\alpha_i$
1	$\theta_1^*$	0	150	$90^\circ$
2	$\theta_2^* - 90^\circ$	0	590	$180^\circ$
3	$\theta_3^* + 90^\circ$	0	130	$-90^\circ$
4	$\theta_4^*$	-647,07	0	$-90^\circ$
5	$\theta_5^*$	0	0	$90^\circ$
6	$\theta_6^*$	-95	0	$0^\circ$

$$H_0^{-1} = \begin{bmatrix} 1 & 0 & 0 & 0 \\ 0 & -1 & 0 & 0 \\ 0 & 0 & -1 & 450 \\ 0 & 0 & 0 & 1 \end{bmatrix}$$

$$H_7^6 = \begin{bmatrix} -1 & 0 & 0 & 0 \\ 0 & 1 & 0 & 0 \\ 0 & 0 & -1 & 0 \\ 0 & 0 & 0 & 1 \end{bmatrix}$$

Exemplo 3.3: *Comau Smart5 SiX*

$$\begin{aligned}
 A_1 &= \begin{bmatrix} c_1 & 0 & s_1 & 150c_1 \\ -s_1 & 0 & c_1 & -150s_1 \\ 0 & -1 & 0 & 450 \\ 0 & 0 & 0 & 1 \end{bmatrix} & A_2 &= \begin{bmatrix} s_2 & -c_2 & 0 & 590s_2 \\ -c_2 & -s_2 & 0 & -590c_2 \\ 0 & 0 & -1 & 0 \\ 0 & 0 & 0 & 1 \end{bmatrix} & A_3 &= \begin{bmatrix} -s_3 & 0 & -c_3 & -130s_3 \\ c_3 & 0 & -s_3 & 130c_3 \\ 0 & -1 & 0 & 0 \\ 0 & 0 & 0 & 1 \end{bmatrix} \\
 A_4 &= \begin{bmatrix} c_4 & 0 & -s_4 & 0 \\ s_4 & 0 & c_4 & 0 \\ 0 & -1 & 0 & -647.07 \\ 0 & 0 & 0 & 1 \end{bmatrix} & A_5 &= \begin{bmatrix} c_5 & 0 & s_5 & 0 \\ s_5 & 0 & -c_5 & 0 \\ 0 & 1 & 0 & 0 \\ 0 & 0 & 0 & 1 \end{bmatrix} & A_6 &= \begin{bmatrix} -c_6 & -s_6 & 0 & 0 \\ -s_6 & c_6 & 0 & 0 \\ 0 & 0 & -1 & -95 \\ 0 & 0 & 0 & 1 \end{bmatrix}
 \end{aligned}$$

Exemplo 3.3: *Comau Smart5 SiX*

$$H_6^Q = \begin{bmatrix} -c_6 (c_3 s_3 s_{(2-3)} + c_5 (-c_1 c_4 c_{(2-3)} + s_1 s_4)) - s_6 (c_1 c_{(2-3)} s_4 + c_4 s_1) & c_6 (c_3 c_{(2-3)} s_4 + c_5 s_1) - s_6 (c_3 s_1 s_{(2-3)} + c_5 (-c_1 c_4 c_{(2-3)} + s_1 s_4)) & c_1 c_3 s_{(2-3)} - s_6 (-c_1 c_4 c_{(2-3)} + s_1 s_4) & 95 c_1 c_3 s_{(2-3)} + c_3 (-130.0 c_{(2-3)} + 590.0 s_2 + 647.07 s_{(2-3)} + 150.0) - 95 s_5 (-c_1 c_4 c_{(2-3)} + s_1 s_4) \\ -c_6 (c_5 (c_1 s_4 + c_4 c_{(2-3)} s_1) - s_1 s_5 s_{(2-3)}) + s_6 (-c_3 c_4 + c_{(2-3)} s_1 s_4) & -c_6 (-c_1 c_4 + c_{(2-3)} s_1 s_4) - s_6 (c_5 (c_1 s_4 + c_4 c_{(2-3)} s_1) - s_1 s_5 s_{(2-3)}) & -c_3 s_1 s_{(2-3)} - s_5 (c_1 s_4 + c_4 c_{(2-3)} s_1) & -95 c_3 s_1 s_{(2-3)} - s_1 (-130.0 c_{(2-3)} + 590.0 s_2 + 647.07 s_{(2-3)} + 150.0) - 95 s_5 (c_1 s_4 + c_4 c_{(2-3)} s_1) \\ -c_6 (c_4 c_3 s_{(2-3)} + c_{(2-3)} s_3) + s_4 s_6 s_{(2-3)} & -c_6 s_4 s_{(2-3)} - s_6 (c_4 c_3 s_{(2-3)} + c_{(2-3)} s_3) & -c_4 s_3 s_{(2-3)} + c_3 c_{(2-3)} & 590.0 c_2 - 95.0 c_1 s_3 s_{(2-3)} + 95.0 c_3 c_{(2-3)} + 647.07 c_{(2-3)} + 130.0 s_{(2-3)} + 450.0 \\ 0 & 0 & 0 & 1 \end{bmatrix}$$





# Singularidades

- Singularidades representam configurações a partir das quais certas direções de movimento tornam-se restringidas.
- Em singularidades, as velocidades limitadas do efector final podem corresponder a ilimitadas velocidades das juntas.
- Nas singularidades, as forças e torques limitados do efector final podem corresponder a torques de junta ilimitados.
- Singularidades geralmente (mas nem sempre) correspondem a pontos no limite do espaço de trabalho do manipulador, ou seja, aos pontos de alcance máximo do manipulador.
- Singularidades correspondem a pontos no espaço de trabalho do manipulador que podem ser inacessível sob pequenas perturbações dos parâmetros do link, como comprimento, deslocamento, etc.
- Perto de singularidades não existirá solução única para a cinemática inversa problema. Em tais casos pode não haver solução ou pode haver infinitas soluções.

## Desacoplamiento de Singularidades

$$\det(J(q)) = 0$$

$$J = [J_P \mid J_O] = \left[ \begin{array}{c|c} J_{11} & J_{12} \\ J_{21} & J_{22} \end{array} \right]$$

$$\det(J) = \det(J_{11})\det(J_{22})$$

# Tipos de Singularidades

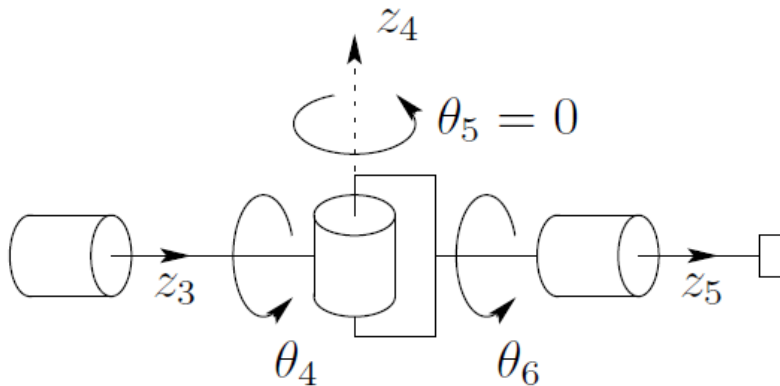
## Singularidades Internas

Ocorre quando há diversas soluções para um mesmo ângulo, na cinemática inversa.

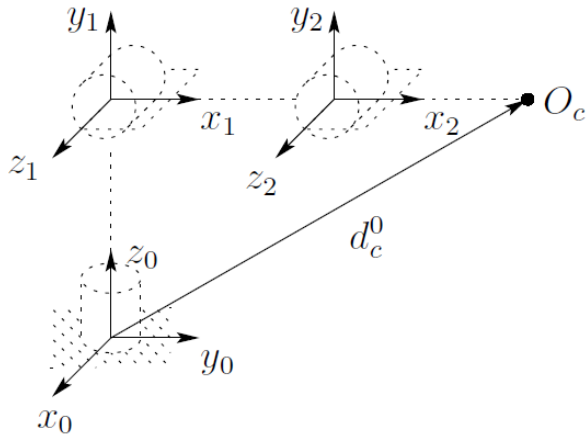
## Singularidades Externas

Ocorre quando, a partir de uma posição atual, há alguma restrição de movimento, em alguma direção.

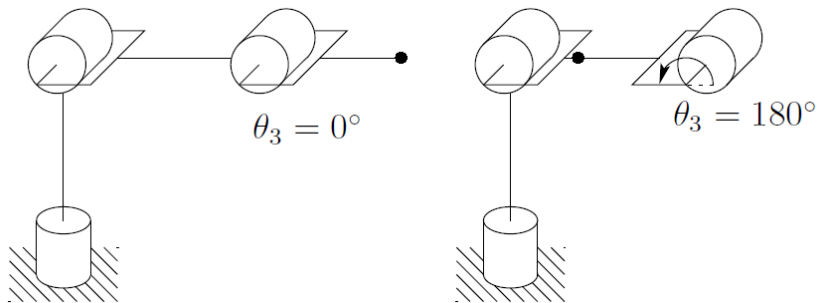
## Singularidades de Punho



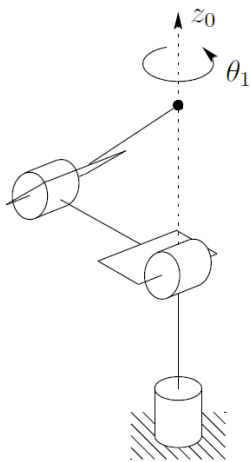
## Singularidades de Braço



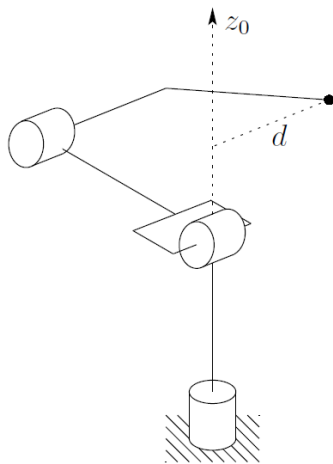
# Singularidades em Manipuladores Cotovelares



# Singularidades em Manipuladores Cotovelares

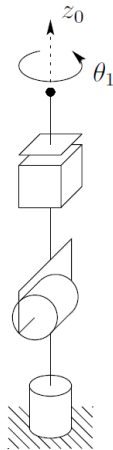


# Singularidades em Manipuladores Cotovelares

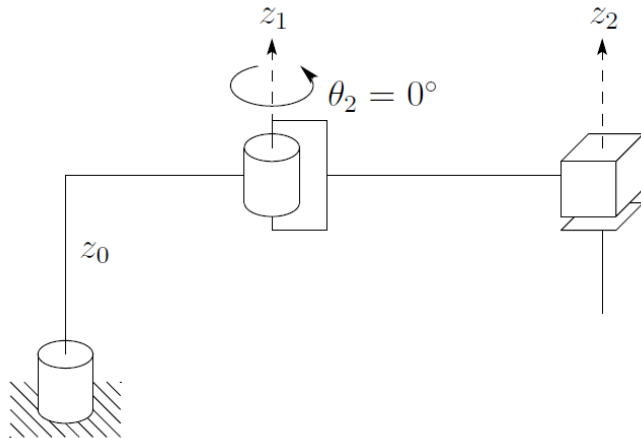




# Singularidades em Manipuladores Esféricos



# Singularidades no Manipulador SCARA



# Referências



Spong, M. W., Hutchinson, S., and Vidyasagar, M. (2006).  
*Robot Modeling and Control*.  
Wiley, 2nd edition.